

ΟΡΥΚΤΟΛΟΓΙΑ.— 'Επὶ τοῦ βαλλεριίτου Ἐρετρίας (Τσαγκλίου), ὑπὸ Ἀθανασίου Γ. Πανάγου *. Ἀνεκοινώθη ὑπὸ τοῦ Ἀκαδημαϊκοῦ κ. Μ. Κ. Μητσοπούλου.

Ε Ι Σ Α Γ Ω Γ Η

Κατὰ τὴν διάρκειαν ἐρευνῶν εἰς τὴν χρωμιτοφόρον περιοχὴν Ἐρετρίας (Τσαγκλίου), τὸ 1964, ὑπέπεσεν εἰς τὴν ἀντίληψίν μου, ὅτι χρωμιτικὰ μᾶξαι συναθεύοντο συχνάκις ὑπὸ πλουσίας θειούχου μεταλλοφορίας, ἀντιληπτῆς ἵδιφ ἐκ τοῦ χρυσοχαλκίνου ἔως όφειχαλκίνου χρώματος τῆς μάζης.

Πρόχειρος καὶ ἐπιπολαία μακροσκοπικὴ ἔξέτασις τῶν ὡς ἄνω θειούχων ὁρυκτῶν ὀδηγεῖ εἰς τὴν διαπίστωσιν τῆς παρουσίας μαγνητοπυρίτου, χαλκοπυρίτου, σιδηροπυρίτου κ.λ.π. Πλέον προσεκτικὴ ὅμως ἔξέτασις καταλήγει εἰς τὴν διάγνωσιν καὶ ἐνὸς ὁρυκτοῦ βροντοπρασίνου - κιτρινοπρασίνου χρώματος μὲ λιχνιδάν ἡμιμεταλλικὴν λάμψιν, τὸ δποῖον σαφῶς διακρίνεται τῶν ὑπολοίπων θειούχων ὁρυκτῶν, κυρίως ἐπειδὴ εἶναι λίαν μαλακόν, ἀποχωρίζεται εἰς λεπτότατα πέταλα, πρὸ πάντων δὲ ἀποβάφει ὡς δ γραφίτης. Πρόκειται περὶ τοῦ σπανιωτάτου ὁρυκτοῦ βαλλεριίτου, δ ὁποῖος ἀπαντᾷ ἐνταῦθα τόσον ἀφθόνως, ὥστε νὰ κατατάσσῃ τὴν Ἐρέτριαν μεταξὺ τῶν ὀλίγων περιοχῶν τῆς ὑφηλίου (Kaveltorp, Saxberget, Palabora, Muskox, Kopparberg) ὅπου τὸ ὁρυκτὸν τοῦτο ἀπαντᾷ εἰς σημαντικὰς ἐμφανίσεις.

Ἡ ἐν ἀφθονίᾳ παρουσία τοῦ βαλλεριίτου εἰς Ἐρέτριαν εἶναι ἥδη γνωστὴ ἀπὸ προηγηθεῖσαν δημοσίευσιν (9). Εἰς τὴν παροῦσαν ἐργασίαν ἐπιχειρεῖται ὁ ἀκτινογραφικὸς ἔλεγχος τοῦ ὁρυκτοῦ, ἡ μικροχημικὴ διερεύνησις τῆς συνθέσεώς του καὶ γενικῶς ἡ λεπτομερεστέρα διερεύνησις τοῦ θέματος. Τοῦτο κυρίως ἐπειδὴ ἐν Ἐρέτρίᾳ ἔχομεν τὸ μοναδικὸν γνωστὸν ἐν Ἑλλάδι κοίτασμα βαλλεριίτου, τοῦ δποίου τὰς ἴδιότητας, ἥτοι τὴν χημικὴν σύνθεσιν, τὰ ἀκτινογραφικὰ δεδομένα, τὴν ὀπτικὴν συμπεριφορὰν κ.λ.π., οὐδόλως γνωρίζομεν.

Ἡ ἐπὶ τοῦ βαλλεριίτου ἐρευνα διῆλθεν ἐκ πολλῶν σταδίων καὶ περιπτετεῖν, κυριωτέρα τῶν δποίων ᾧτο ἡ συχνάκις πλήρης σύγχυσις τούτου πρὸς τὸν ἔχοντα τὰς αὐτὰς σχεδὸν ἴδιότητας μακιναβίτην (mackinawite), ἐκ τοῦ δποίου δυσκολώτατα διακρίνεται. Τὴν πλάνην ταύτην περιέπλεκεν ἔτι μᾶλλον τὸ γεγονός ὅτι τὰ δύο ταῦτα ὁρυκτὰ εἶναι ἀπολύτως συνδεδεμένα μεταξύ των γενετικῶς.

* ATHAN. G. PANAGOS, Zum Vallerit von Eretria (Thessalien).

Πλειάς δλη ἐρευνητῶν (βλ. βιβλιογρ.) ἡσχολήθη κατὰ καιροὺς πρὸς λύσιν τοῦ ζητήματος, ἢ δποία ἔχει πράγματι δριστικῶς ἐπιτευχθῆ. Εἶναι πλέον γνωστόν, ὅτι τὰ δύο ταῦτα δρυκτὰ ἔχουν διάφορον πλέγμα (δι μακιναβίτης τετραγωνικόν, δι βαλλερούτης ρομβοεδρικόν) καὶ ὅτι ἡ ἀνακλαστικὴ ἴκανότης τοῦ μακιναβίτου διὰ τὴν τακτικὴν (**Θ**) εἶναι μεγαλυτέρα τῆς τοῦ βαλλερούτου.

ΣΤΟΙΧΕΙΑ ΓΕΩΛΟΓΙΚΑ ΤΗΣ ΠΕΡΙΟΧΗΣ ΕΡΕΤΡΙΑΣ

Ἡ χρωμιτοφόρος περιοχὴ Ἐρετρίας (Τσαγκλίου), εἰς νότιον Θεσσαλίαν, ἀποτελεῖ μικρᾶς ἐκτάσεως σερπεντινικὸν θύλακα ἀνήκοντα εἰς τὰς ἐκτεταμένας ὑπερβασικὰς ἐμφανίσεις τῆς Ὀδρονος (Ὑποπελαγωνικὴ ζώνη). Εἰς τὴν περιοχὴν ταύτην κυριαρχοῦν χρωμιτοφόροι δουνιτικοὶ ἔως χαρτζβουργιτικοὶ σερπεντῖναι ἐν στενῇ συνδέσει πρὸς στρώματα σχιστολίθων (ἀργιλικοὶ σχιστόλιθοι, φυλλῖται), κερατολίθων, οροκαλοπαγῶν, ἀσβεστολίθων κ.λ.π., ὡς τοῦτο ἐμφαίνεται εἰς τὸ πρόχειρον πετρογραφικὸν σκαρίφημα τῆς περιοχῆς, ἐπὶ τοῦ δποίου καὶ σημειούνται διὰ Cr οἱ χρωμιτοφόροι σερπεντῖναι, ἐντὸς τῶν δποίων ἀνευδίσκεται δι βαλλερούτης (Εἰκ. 1).

Αἱ ὑπερβασικὰς ἐμφανίσεις εἰς τὴν ἐν θέματι περιοχὴν εὑρίσκονται «εἰς στάδιον λίαν προκεχωρημένης σερπεντινιώσεως». Εἰς μικροσκοπικὰς τομὰς ὑπερβασικῶν αὐτόθι πετρωμάτων σπανιώτατα διακρίνει τις ὑπολείμματα δλιβίνου καὶ πυροξένων, ἀφθονεῖ δὲ διευτερογενῆς μαγνητίτης ἐλευθερωθεὶς ἐκ τοῦ σιδηρούχου μέλους τοῦ δλιβίνου κατὰ τὴν σερπεντινίωσίν του.

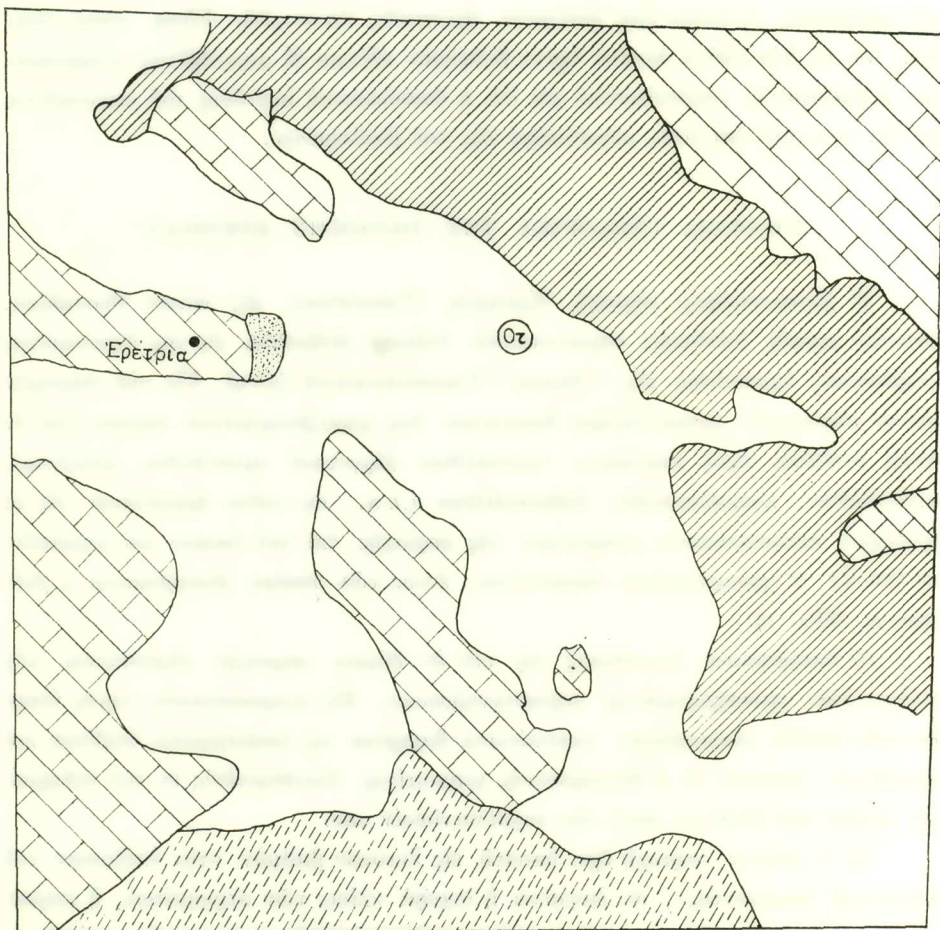
Ἡ ἐν θέματι περιοχὴ ἔχει ὑποστῆ εἰς ἔντονον βαθμὸν «τὴν ἐπίδρασιν τοῦ τεκτονικοῦ παράγοντος», ὡς ἐμφαίνει ἡ ἵσχυρὰ κλίσις τῶν στρωμάτων, ἡ παρουσία οργιάτων, κατάλλασις ἐκδηλουμένη κυρίως ἐπὶ τῶν χρωμιτικῶν σωμάτων, δι σχηματισμὸς κονδύλων, ἡ μυλωνιτίωσις τοῦ χρωμιτικοῦ ὑλικοῦ ἰδίᾳ κατὰ τὴν περιφέρειάν του κ.λ.π.

Ο ΒΑΛΛΕΡΙΙΤΗΣ

1) Μακροσκοπικὴ ἐξέτασις

Τὸ δρυκτὸν τοῦτο ἀναπτύσσεται σχεδὸν πανταχοῦ, κυρίως ὅμως ἐντὸς τῶν χρωμιτικῶν σωμάτων καὶ κατὰ τὴν παρυφὴν αὐτῶν, ὅπου ἐντοπίζεται εἰς σημαντικὰς συσσωρεύσεις.

Πρόκειται περὶ δρυκτοῦ μᾶλλον βροντοπρασίνου χρώματος, μὲ ἵσχυρὰν ἥμιταλλικὴν λάμψιν. Εἶναι μαλακὸν καὶ ἀναπτύσσεται εἰς μικροσκοπικῶν διαστά-



ΥΠΟΜΝΗΜΑ



Υπερβασικά πετρώματα



Λατυτοπαγή - Ψαμμίται



Σχιστόλιθοι - ϕυλλίται



Άμμοι - πηλοί



Ασβεστόλιθοι



Χρωμιτοφόροι σερπεντίναι

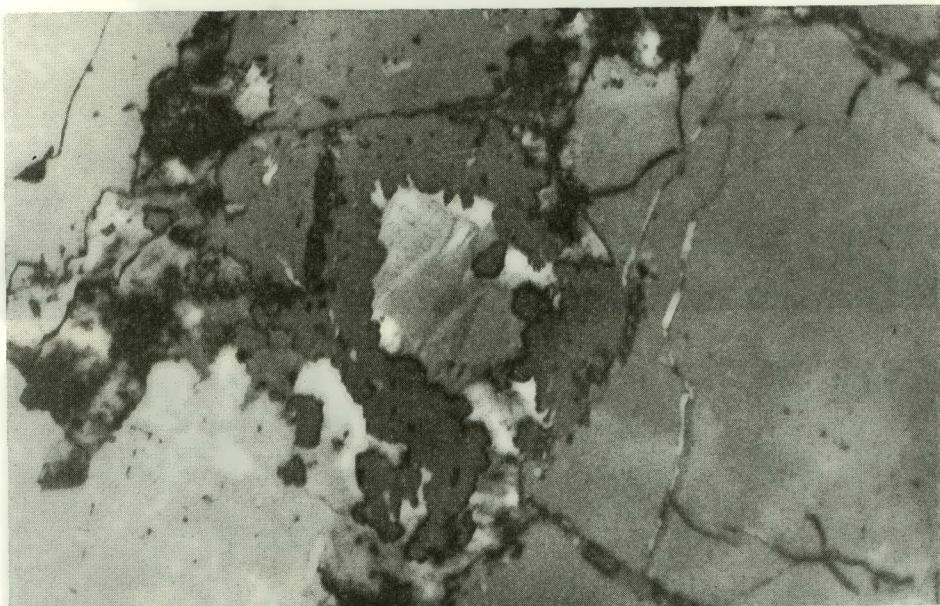
Εἰς. 1.— Πρόχειρον πετρογραφικὸν σκαρίφημα τῆς περιοχῆς *Ερετρίας (Τσαγκλίου).

σεων πέταλα, τασσόμενα, ύπο μορφήν ἐπανθισμάτων καὶ στρωμάτων, ἐπὶ χωματικῶν ίδιᾳ μαζῶν τοῦ κοιτάσματος. Ἀναγνωρίζεται εὐκόλως ἐκ τοῦ γεγονότος ὅτι ἀποβάφει ὡς δι γραφίτης.

2) Μικροσκοπικὴ ἔξετασις

Ο βαλλεριτής εἶναι δρυκτὸν ἀδιαφανές. Ὑπὸ τὸ μεταλλογραφικὸν μικροσκόπιον ἐμφανίζεται εἰς βροντώδεις ἔως βροντοκιτρίνους ἢ καὶ τεφροκυάνους ἀποχρώσεις.

Ἡ ἀνακλαστικὴ ἴκανότης του εἶναι χαμηλὴ καὶ κατὰ κανόνα ποικίλλουσα,



Εἰκ. 2.—Κρύσταλλος βαλλεριτού ἐντὸς σερπεντίνου. Διακρίνεται εἰς τὸ δεξιὸν τῆς εἰκόνος ὁ χρωμίτης, εἰς δὲ τὸ ἀριστερὸν ὁ μαγνητοπυρίτης.

Nicols //, $\times 100$

ἐξαρτωμένη, ἐν μέρει τοῦλάχιστον, ἐκ τῶν δυσκολιῶν τὰς ὅποιας τὸ δρυκτὸν τοῦτο παρουσιάζει κατὰ τὴν λείανσιν καὶ στίλβωσιν τῶν μεταλλογραφικῶν τομῶν του.

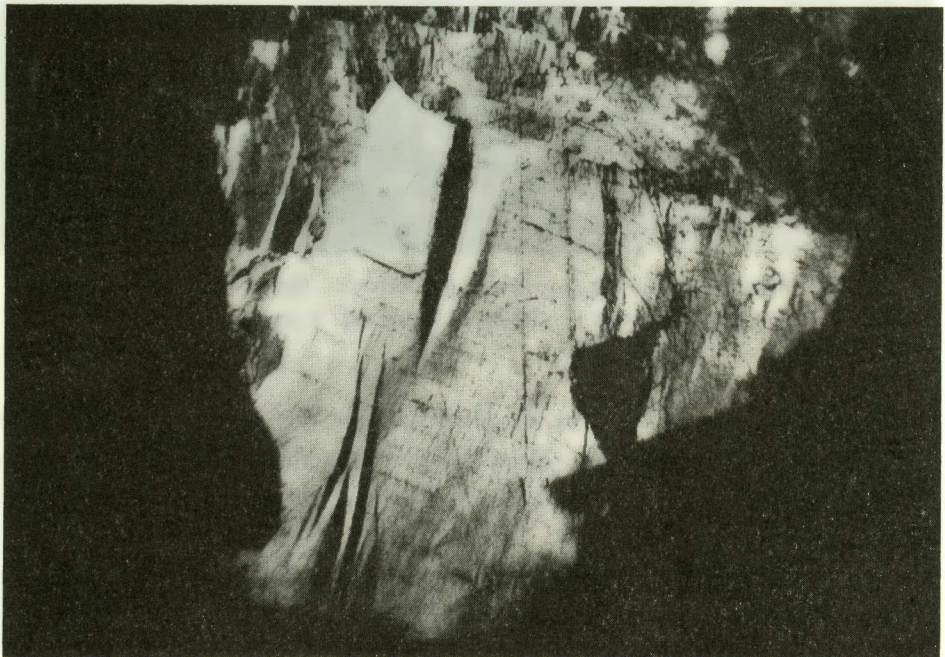
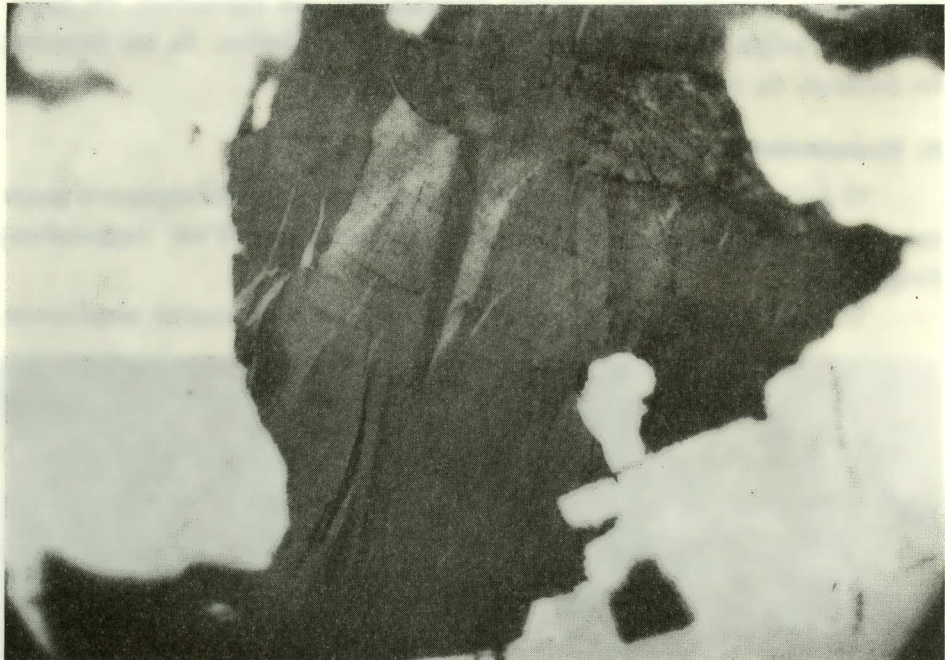
Ἡ διπλοθλαστικότης τοῦ δρυκτοῦ εἶναι λίαν ἰσχυρὰ (Εἰκ. 2) καὶ χαρακτηριστική :

ὑποκίτρινον ἔως λεμονόχρουν

ώχρὸν πορτοκαλόχρουν

τεφρὸν κνανοῦν

Ἡ ἀνισοτροπία του εἶναι ἐντονωτάτη (Εἰκ. 3).



Εἰκ. 3.—Κρύσταλλος βαλλερίτου κατά μήκος ρωγμῆς μαγνητοπυρίτου.

- a) Nicols //, $\times 80$
- β) Nicols +, $\times 80$

3) Ἀκτινογραφική ἔξέτασις

Ἡ ἀκτινογραφικὴ διερεύνησις τοῦ ὁρυκτοῦ ἐγένετο δι' ἀκτινογραφικοῦ μηχανήματος τύπου Philips (Diffraktometer). Ἐχοησιμοποιήθη ὑλικὸν τοῦ ὁρυκτοῦ ὑπὸ μορφὴν ἐπανδίσματος ἐπὶ χρωμίτου.

Τὸ ληφθὲν ἀκτινογραφικὸν διάγραμμα (Diffraktogramme) παρέχεται εἰς τὴν Εἰκ. 4.

Ὑπελογίσθησαν ἐν συνεχείᾳ

α) αἱ τιμαὶ d τῶν «ἀνακλάσεων» τοῦ βαλλεριάτου,

β) αἱ σχετικαὶ ἐντάσεις (I) τῶν ἀνακλάσεών του,

αἵτινες καὶ ἀποδίδονται εἰς τὸν συγκριτικὸν Πίνακα 1, οὗτως ὥστε νὰ εἶναι δυνατὴ ἡ σύγκρισις τοῦ βαλλεριάτου Ἐρετρίας πρὸς τοὺς βαλλεριάτας τῶν περιοχῶν Loolekop (N. Ἀφρική), Kaveltorp (Σουηδία) καὶ Muskox (Καναδᾶς).

Ἡ σύμπτωσις τῶν τιμῶν d τοῦ βαλλεριάτου Ἐρετρίας πρὸς τὰς τοῦ βαλλεριάτου ἄλλων περιοχῶν τὰς πρὸς σύγκρισιν παρατεθείσας εἶναι ἐκτὸς πάσης ἀμφισβητήσεως, αἱ δὲ παρουσιαζόμεναι ἐν προκειμένῳ ἰδιορρυθμίᾳ τοῦ πρώτου εἶναι σχετικῶς μικραὶ (ἀμελητέαι).

4) Μικρο - ἀνάλυσις

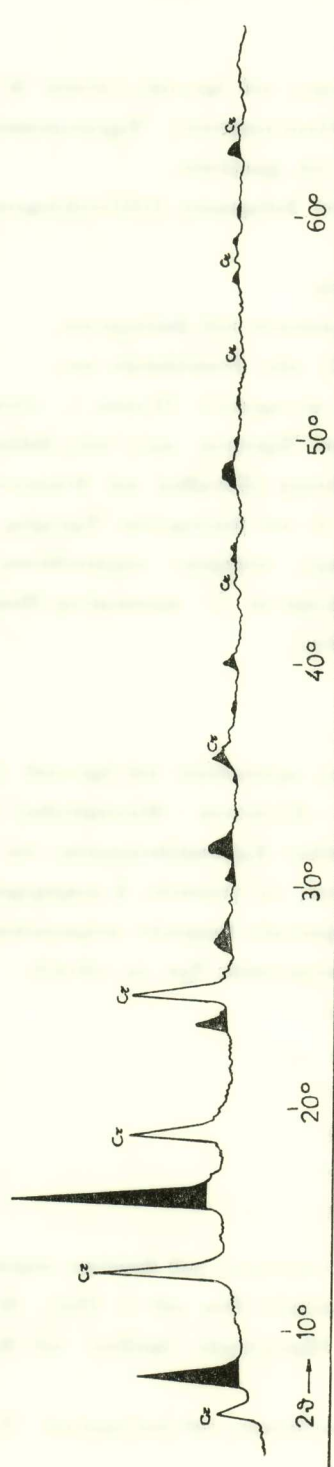
Ἡ χημικὴ μικρο - ἀνάλυσις κρυστάλλου τοῦ ὁρυκτοῦ ἐγένετο διὰ μικροαναλυτοῦ τύπου A.R.L. (A.R.L. - Elektron - Microprobe) εἰς τὸ διοσπονδιακὸν Πολυτεχνεῖον Ζυρίχης (Ίνστιτοῦ Κρυσταλλογραφίας καὶ Πετρογραφίας). Διὰ τοῦ ὁργάνου τούτου ἐπιτυγχάνεται, ὡς γνωστόν, ἡ μικροχημικὴ ἀνάλυσις, δι' ἥλεκτρονιακῆς δέσμης, μικρῶν ἐπιφανειῶν (μερικῶν τετραγωνικῶν μικρῶν).

Τὸ ἀποτέλεσμα τῆς μικροαναλύσεως ἔχει ὡς κάτωθι :

29 Cu	16,32
26 Fe	30,55
13 S	21,32
12 Mg	6,89
28 Ni	0,19
13 Al	3,13

Ἐπειδὴ αἱ ἀναλυτικαὶ δυνατότητες τοῦ ὁργάνου περιορίζονται εἰς τὴν ἀνάλυσιν στοιχείων μὲ ἀτομικὸν ἀριθμὸν ἄνω τοῦ 11 (Na), δὲν ἐδόθη ἡ συμμετοχὴ ὅξυγόνου καὶ ὑδρογόνου τῶν ὑδροξυλικῶν ὅμαδων τοῦ Mg εἰμὴ μόνον ὡς ἔξυπολογισμοῦ (10,20).

Σύγκρισις τῆς χημικῆς συνθέσεως τοῦ βαλλεριάτου Ἐρετρίας πρὸς τὴν τοῦ



EEx. 4. — Απτυνογραφικὸν διάγραμμα (Diffraktogramme) βαλλερίου, Ερετίος. Διὰ Cr σημειοῦνται ἐπὶ τοῦ ἀκτινογραφήματος αἱ «ἀνακλάσεις» τοῦ χωμάτου.

Πίναξ 1.—Συγκριτικός πίναξ των τιμών σε διάφορους μηχανισμούς για την μετρητική της απόδοση.

Τιμαὶ ἀ ἐξ ὅποιον- σην διὰ $\alpha = 3,792 \text{ \AA}$ $c = 3,410 \text{ \AA}$ διὰ $R\bar{3}m$ ἢ $R\bar{3}m$ (Κατὰ Evans κλ.τ.)	Loolekop (Κατὰ Evans κλ.τ.)	Kaveltop (Κατὰ Hiller, 1939)	Musko (Κατὰ Chamberlain and Delabio, 1965)	'Εργατικαὶ (Τσαγών) διὰ Diffraktometer (Κατὰ Παναγίου, 1967)
11,367	11,39	11,48	11,53	11,383
5,688	5,71	5,68	5,74	5,748
3,789	3,80	—	3,81	3,798
3,269	3,27	3,27	3,25	3,264
3,225	3,23	—	—	—
3,064	3,07	—	—	—
2,959	2,958	2,974	2,979	2,979
2,842	2,846	2,842	2,837	2,837
2,723	—	—	—	—
2,601	2,604	1	2,51	2,597
—	—	—	—	—
2,365	2,346	2	2,37	2,533
2,273	2,259	2	2,29	2,378
2,254	2,050	—	—	2,263
1,956	1,956	—	—	—
1,896	—	—	—	—
1,894	1,885	1,894	1,89	—
1,870	1,860	1,870	1,865	1,882
1,799	—	—	—	1,829
1,788	1,780	1	1,80	1,769
1,712	—	—	—	—
1,696	—	—	—	—
1,640	—	—	—	—
1,634	—	—	—	—
1,624	1,629	1	1,636	1,635
1,612	—	—	—	—
1,596	—	—	—	—
1,577	—	—	—	1,571
1,575	—	—	—	—
1,556	—	—	—	—
1,532	—	—	—	—
1,533	—	—	—	—
1,479	—	—	—	—
1,456	—	—	—	—
1,451	—	—	—	—

: Η γένιτις σχετική Ελληνική

βαλλερίτου τῶν περιοχῶν Kopparberg, Kaveltorp, Loolekop, ἵτις καὶ ἐμφαίνεται εἰς τὸν Πίνακα 2, ἀποδεικνύει τὴν παρουσίαν μικρῶν σχετικῶς διαφορῶν, κυριωτέρα τῶν ὅποιων εἶναι ἡ μεταβλητὴ ἀναλογία Cu/Fe ἐντὸς τοῦ πλέγματος τοῦ δρυκτοῦ (αἰσθητῶς ηὔξημένη ἐν προκειμένῳ ἀναλογίᾳ σιδήρου ἔναντι τοῦ χαλκοῦ).

Πίναξ 2.—Συγκριτικὸς πίναξ τοῦ χημισμοῦ τοῦ βαλλερίτου Ἐρετρίας καὶ τῶν περιοχῶν Kopparberg, Kaveltorp καὶ Loolekop.

	Kopparberg (Σουηδία)	Kaveltorp (Σουηδία)	Loolekop (N. Ἀφρική)	Ἐρετρία (Ἐλλάς)
Cu	17,7	17,6	19,8	16,32
Fe	26,3	21,2	20,0	30,55
S	22,5	21,4	21,6	21,32
Al ₂ O ₃	5,1	8,1	8,5	5,91 (Al = 3,13)
MgO	10,6	16,2	16,0	11,42 (Mg = 6,89)
CaO	0,3	1,7	1,3	—
K ₂ O	0,3	—	—	—
Na ₂ O	0,6	—	—	—
H ₂ O	10,8	12,2	10,8	10,20 (ἢ ὑπολογισμοῦ)

Εἶναι προφανὲς ὅτι ἀπὸ ἀπόψεως χημικῆς συνθέσεως δι βαλλερίτης Ἐρετρίας ενδίσκεται μᾶλλον πλησιέστερον πρὸς τὸν βαλλερίτην τοῦ Kopparberg (Σουηδία), ὡς τοῦτο εὐκόλως διαπιστοῦται ἐκ τοῦ συγκριτικοῦ Πίνακος 2.

*Ανάλυσις τοῦ K, τοῦ Na καὶ τοῦ Ca δὲν ἐθεωρήθη ἐν προκειμένῳ ἀπαραίτητος, λόγῳ τῆς μικρᾶς ἀναλογίας συμμετοχῆς τῶν ὧς ἄνω κατιόντων.

Τὸ δίλιγον Ni (0,19) τοῦ βαλλερίτου κατέχει προφανῶς ἐντὸς τοῦ πλέγματος τοῦ δρυκτοῦ θέσεις τοῦ Mg.

ΙΣΤΟΛΟΓΙΚΑΙ ΠΑΡΑΤΗΡΗΣΕΙΣ

*Ἀνεφέρθη ἡδη ὅτι δι βαλλερίτης ἀναπτύσσεται κυρίως ἐντὸς τῶν φακοειδῶν ἔως κονδυλομόρφων χρωματικῶν σωμάτων καὶ διακρίνεται εὐχερῶς, τόσον μικροσκοπικῶς ὥστον καὶ ὑπὸ τῷ μεταλλογραφικὸν μικροσκόπιον, χάρις εἰς τὰς προαναφερθείσας ἰδιότητάς του. Καθορίζεται ἐπομένως ἡ θέσις του εὐκόλως.

*Η μικροσκοπικὴ παρατήρησις ἀποδεικνύει ὅτι αἱ θέσεις ἀναπτύξεως τοῦ ἐν θέματι δρυκτοῦ εἶναι :

α) Τεκτονισμένα χρωματικά τεμάχια και ἐπιφάνειαι θρυμματισμοῦ τοῦ χρωμάτου.

β) Χρωματικά ἐπιφλοιώσεις.

γ) Ἐντὸς τοῦ σερπετίνου.

Ἡ ίστολογικὴ διερεύνησις σειρᾶς μεταλλογραφικῶν παρασκευασμάτων (βλέπε εἰκόνας κειμένου και πινάκων I, II, III, IV και V) ἀποδεικνύει ὅτι ὁ βαλλεριτής

α) ἀναπτύσσεται κατὰ μῆκος ρωγμῶν, πόρων κ.λ.π. ἄλλων ὀρυκτῶν, ὡς π.χ. δι μαγνητοπυρίτης (Εἰκ. 5), δι χρωμίτης (Εἰκ. 6, IV - 1, 2 κ.λ.π.),

β) διαπερᾶ τὸν δευτερογενῆ μαγνητίτην (Εἰκ. 7),

γ) διαμορφώνει κρυστάλλους κατὰ κανόνα ὑπιδιομόρφους ἔως ξενομόρφους (Εἰκ. 2, 3 κ.λ.π.),

δ) ἐντοπίζεται κατ' ἔξοχὴν εἰς χρωμίτας παρουσιάζοντας κατακλαστικὸν ἵστον (Εἰκ. 8).

Γ Ε Ν Ε Σ Ι Σ

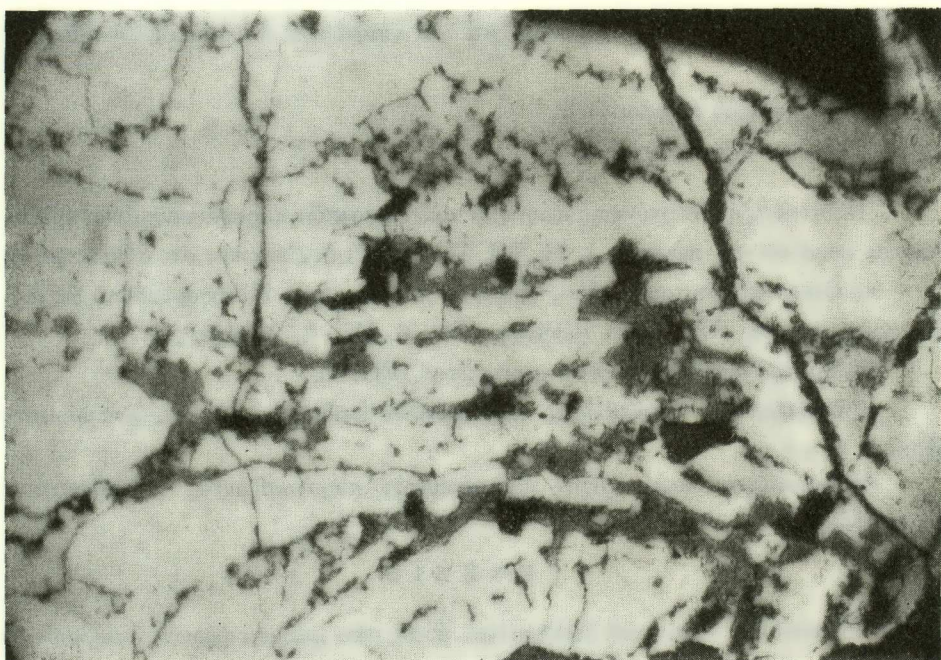
Ἡ γενετικὴ θέσις τοῦ βαλλεριτοῦ ἐντὸς τῶν χρωμιτοφόρων ὑπερβασικῶν ἐμφανίσεων τῆς Ἐρετρίας εἶναι, μετὰ τὰ εἰς τὸ προηγηθὲν κεφάλαιον ἐκτεθέντα, σαφῆς καὶ συγκεκριμένη.

1) Πρόκειται περὶ ὀρυκτοῦ, τὸ ὅποῖον ἐσχηματίσθη μετὰ τὴν χρωμιτογένεσιν εἰς χαμηλοτέρας θερμοκρασίας (sub-magmatic temperatures), δεδομένου ὅτι, ὡς ἐλέχθη, ἐντοπίζεται κατὰ μῆκος ρωγμῶν και πόρων τῶν χρωματικῶν κόκκων, μεταξὺ τῶν κόκκων ἡ κατὰ τὰς γραμμὰς κατακλάσεώς των.

2) Ἡ γένεσίς του φαίνεται συνδεδεμένη πρὸς τὴν σερπεντινίωσιν τοῦ ὑπερβασικοῦ μητρικοῦ πετρώματος τοῦ χρωμάτου. Δεδομένου ὅτι διαπερᾶ τὸν κατὰ τὴν σερπεντινίωσιν τοῦ ὀλιβίνου σχηματισθέντα δευτερογενῆ μαγνητίτην, τὸ ὀρυκτὸν τοῦτο ἔχει σχηματισθῆ κατὰ ἡ μετὰ τὴν σερπεντινίωσιν.

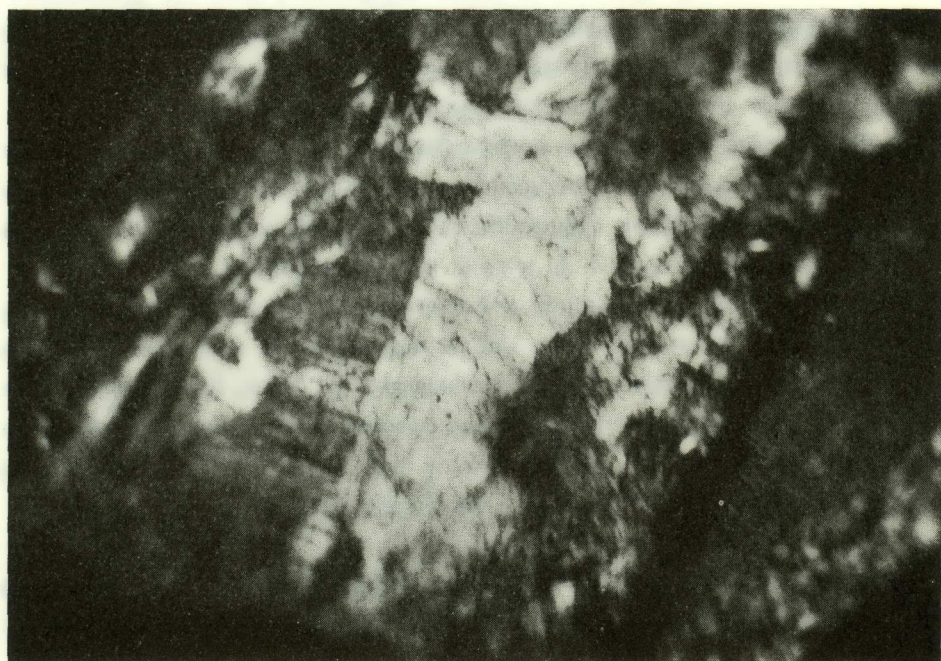
3) Ὅπερ τοῦ χαρακτηρισμοῦ τοῦ σχηματισμοῦ τοῦ βαλλεριτοῦ Ἐρετρίας ὡς ὑστερογενοῦς συνηγορεῖ εἰσέτι και τὸ γεγονός ὅτι οἱ κρύσταλλοί του εἶναι πάντοτε σαφῶς ὑπιδιόμορφοι ἔως και ξενόμορφοι. Ἔξ ἄλλου, ἡ σύνδεσις τοῦ ὀρυκτοῦ τούτου πρὸς πλουσίαν θειοῦχον μεταλλοφορίαν (μαγνητοπυρίτης, χαλκοπυρίτης, σιδηροπυρίτης κ.λ.π.) κατὰ τὸ μᾶλλον και ἥπτον ὑδροθερμικῆς γενέσεως ἀποτελεῖ ἐπὶ πλέον ἔνδειξιν πρὸς ἀποδοχὴν ὡς εὐστόχου τῆς γνώμης ταύτης.

Ἡ ἐργασία αὕτη ἐξεπονήθη εἰς τὸ πλαίσιον ἀναληφθείσης πρὸς τὸ Βασιλικὸν "Ιδρυμα Ἐρεννῶν ὑποχρεώσεως. Τὸ ὡς ἄνω "Ιδρυμα εὐχαριστῶ θερμᾶς και ἀπὸ τῆς θέσεως ταύτης.



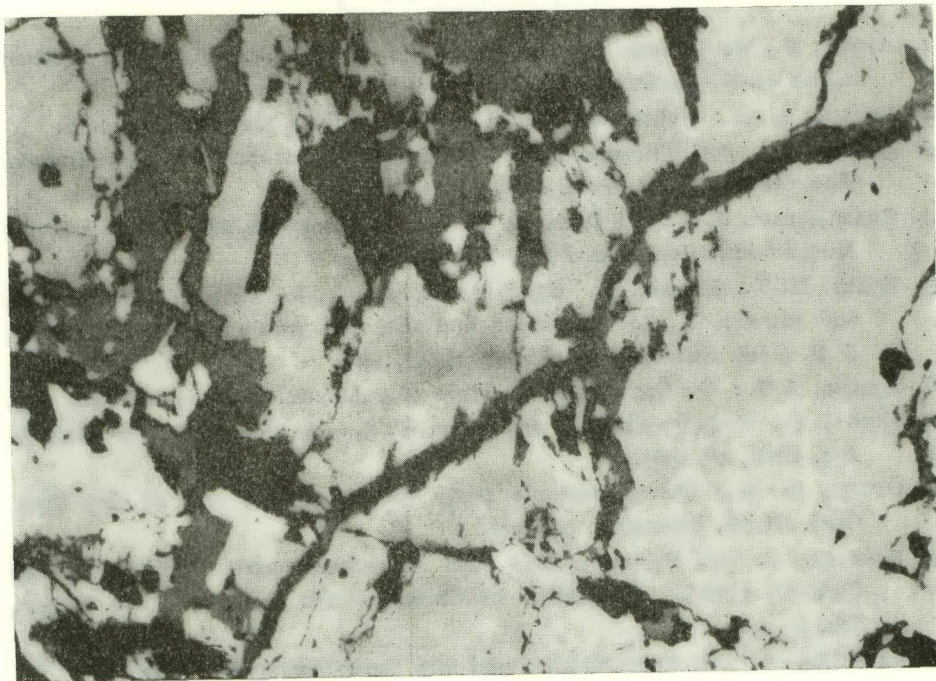
Εἰκ. 5.—Βαλλεριτής ἀναπτυσσόμενος κατὰ μῆκος ρωγμῶν μαγνητοπυρίτου.

Nicols //, $\times 80$



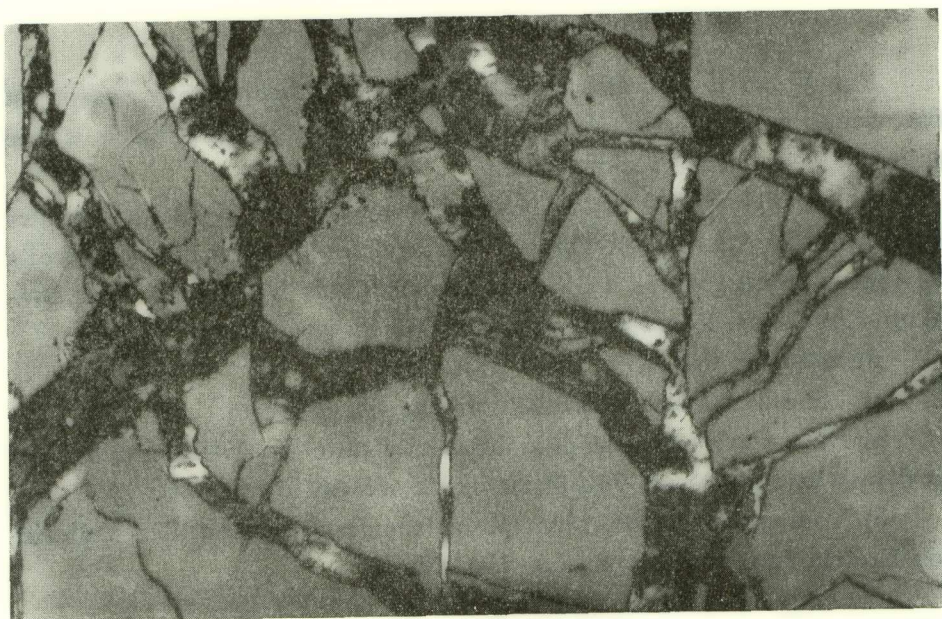
Εἰκ. 6.—Βαλλεριτής ἀναπτυσσόμενος ἐντὸς φλεβιδίου σερπεντίνου τοῦ χρωμίτου.

Nicols //, $\times 80$



Εικ. 7.—Κρύσταλλος βαλλεριίτου διατέμνων φλεβίδιον δευτερογενοῦς μαγνητίτου.

Nicols //, $\times 80$



Εικ. 8.—Βαλλεριίτης ἀναπτυσσόμενος κατά μῆκος ρωγμῶν ἐκ κατακλάσεως τοῦ χρωμίτου.

Nicols //, $\times 80$

ΒΙΒΛΙΟΓΡΑΦΙΑ

1. ANTUN, P., EL GORESI, A., RAMDOHR, P.: Ein neuartiger Typ «hydrothermaler Cu-Ni-Lagerstätten. Min. Dep., V. 1, Bd. 2, 1966.
2. BERNER, R. A.: Tetragonal FeS, a new iron Sulfide. Science, 137, 1962.
3. BERRY, I. G. and THOMPSON, M. R.: X-ray powder data for ore minerals. The Peacock Atlas, Geol. Soc. Amer., 1962.
4. CHAMBERLAIN, A. J. and DELABIO, N. R.: Mackinawite and Valleriit in the Muskox intrusion. Am. Min., Vol., 50, 1965.
5. EVANS, H. T., MILTON, C., CHAO, T. E., ADLER, I., MEAD, C., INGRAM, B. and BERNER, A. R.: Valleriite and the new iron sulfide Mackinawite. U. S. Geol. Survey. Prof. Paper, 475-D, 1964.
6. HILLER, J. E.: On the crystal structure of Valleriite. Zeit. Krist., 101, 1939.
7. KUOVO, O., VUORELAINEN, Y. and LONG, P. J.: A tetragonal iron Sulfide. Am. Min., 48, 1963.
8. ÖDMAN, O. H.: Ore microscopic study of the sulfide ores of Kaveltorp. Geol. Fören. Förhandl., 55, 1933.
9. PANAGOS, A. und RAMDOHR, P.: Ein bemerkenswertes Vorkommen von Valleriit $\text{CuFeS}_2 \cdot n\text{Mg(OH)}_2$, im Chromerz von Eretria. N. Jb. Miner., Mh. 5, 1965.
10. RAMDOHR, P.: Die Erzmineralien und ihre Verwachsungen. Berlin, 1960.
- II. RAMDOHR, P. and ÖDMAN, O. H.: Valleriite. Geol. Förenings. Förh., 54, 1932.

Z U S A M M E N F A S S U N G

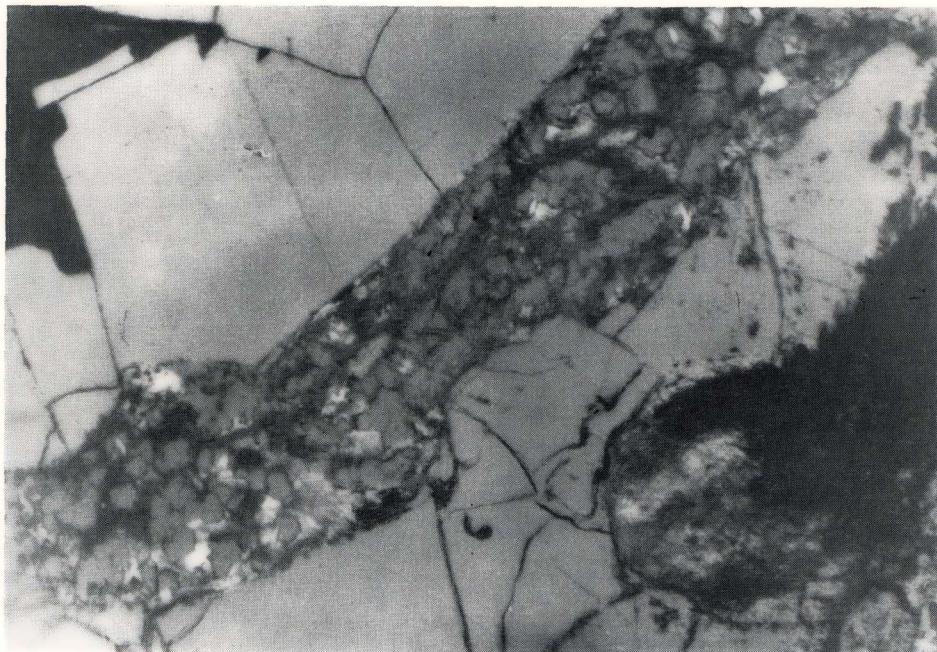
Der Vallerit aus den ultrabasischen Vorkommen von Eretria ist des weiteren erzmikroskopisch, aber auch röntgenographisch sowie mikroanalytisch untersucht worden.

Es ist auch eine vergleichende Darstellung der d-Werte und des Resultates der Analyse (Mikrosonde-analyse) des Minerals mit den bereits bekannten Röntgendiffraktionsdaten und den Analysen der Valleriiten von Loo-lekop - Kaveltorp - Kopparberg usw. angegeben worden.

Festgestellt wurde:

- 1) Eine eindeutige Übereinstimmung der d-Werte.
- 2) Eine wechselnde Analogie der Fe/Cu ratio (im vorliegenden Falle ist der Gehalt an Fe im Verhältnis zu Cu wesentlich erhöht).
- 3) Vom chemischen Gesichtspunkt aus gesehen, steht der Vallerit von Eretria dem von Kopparberg viel näher.





Εἰκ. 1.—Βαλλεριτης μεταξύ μυλωνιτιωμένου χρωμιτικοῦ ύλικου ἐντὸς φλεβιδίον σερπεντίνου τοῦ χρωμίτου.

Nicols //, $\times 80$



Εἰκ. 2.—Βαλλεριτης μεταξύ μυλωνιτιωμένου χρωμιτικοῦ ύλικου κατά μῆκος φλεβιδίον σερπεντίνου τοῦ χρωμίτου. Εἰς τὸ ἀριστερὸν τῆς εἰκόνος διακρίνεται μεταλλαγὴ τοῦ χρωμίτου.

Nicols //, $\times 80$

‘Ο ‘Ακαδημαϊκὸς κ. **Μάξιμος Κ. Μητσόπουλος** κατὰ τὴν ἀνακοίνωσιν τῆς ἀνωτέρῳ ἐργασίας εἶπε τὰ κάτωθι :

Κατὰ τὴν διάρκειαν ἐρευνῶν εἰς τὴν χρωμιτοφόρον περιοχὴν Ἐρετρίας (ἢ Τσαγκλίου, ὡς πρότερον ἐκαλεῖτο τὸ χωρίον τοῦτο) ὑπέπεσεν εἰς τὴν ἀντίληψιν τοῦ ἐρευνητοῦ ὅτι πολλάκις αἱ χρωμιτικαὶ μᾶζαι συνωδεύοντο ὑπὸ πλουσίας θειούχου μεταλλοφορίας. Αὕτη γίνεται ἀντίληπτὴ χάρις εἰς τὸ χρυσοκύτρινον ἔως δρειχάλκινον χρῶμα τῆς μάζης.

Πρόχειρος καὶ ἐπιπολαία μασκοσκοπικὴ ἔξετασις τῶν θειούχων ὁρυκτῶν τοῦ κοιτάσματος ἀποδεικνύει τὴν παρουσίαν τοῦ μαγνητοπυρίτου ἢ πυρροτίνου, τοῦ χαλκοπυρίτου, τοῦ σιδηροπυρίτου καὶ τινων ἄλλων. Ἐτί προσεκτικωτέρᾳ ἔξετασις τῶν ἐν λόγῳ θειούχων ὁρυκτῶν ἐπιτρέπει νὰ καταλήξωμεν εἰς τὸ συμπέρασμα, ὅτι ὑπάρχει ἐν εἰσέτι ὁρυκτόν. Τοῦτο ἔχει χρῶμα βροντζοπράσινον ἔως κιτρινοπράσινον καὶ ἡμιμεταλλικὴν λάμψιν. Σαφῶς διακρίνεται ἐκ τῶν ὑπολοίπων θειούχων ὁρυκτῶν καὶ κυρίως καθόσον τοῦτο εἶναι λίαν μαλακόν, ἀποχωρίζεται εἰς λεπτότατα πέταλα, πρὸ πάντων δὲ ἀποχρώννυσι τὴν χεῖρα ὡς ὁ γραφίτης.

Πρόκειται περὶ τοῦ σπανιωτάτου ὁρυκτοῦ βαλλεριίτου $\text{CuFeS}_2 \cdot n \text{Mg(OH)}_2$, τὸ δοποῖον, κατὰ τὸν συγγραφέα, ἀπαντᾶ εἰς τὴν Ἐρέτριαν ἐν σχετικῇ ἀφθονίᾳ. Τοῦτο ἀναδεικνύει τὴν Ἐρέτριαν ὡς περιοχὴν δυναμένην νὰ προστεθῇ εἰς τὰς ἐλαχίστας 3 - 4 περιοχὰς τῆς ὑφηλίου, ἔνθα τὸ ὁρυκτὸν βαλλεριίτης ἀπαντᾶ εἰς σημαντικὰς ποσότητας (ὡς π. χ. εἰς Kaveltorp, εἰς Saxberget, εἰς Palabora, εἰς Muskox καὶ εἰς Kopparberg).

‘Η ἐν ἀφθονίᾳ παρουσίᾳ τοῦ βαλλεριίτου εἰς τὴν Ἐρέτριαν τῆς Θεσσαλίας εἶναι ἥδη γνωστὴ ἀπὸ προηγηθεῖσαν δημοσίευσιν τοῦ συγγραφέως. Εἰς τὴν σημερινήν τον ἀνακοίνωσιν ὁ κ. Πανάγος μελετᾷ περαιτέρω μικροσκοπικῶς, ἀκτινογραφικῶς καὶ μικροχημικῶς τὸ ἐν θέματι ὁρυκτόν, συγκρίνει τοῦτο πρὸς τὸν βαλλεριίτην τῶν ἥδη γνωστῶν ἐμφανίσεων καὶ καταλήγει εἰς τὸ συμπέρασμα, ὅτι ὁ βαλλεριίτης τῆς Ἐρέτριας παρουσιάζει αἰσθητῶς τὴν ἡρξημένην ἀναλογίαν σιδήρου ἔναντι τοῦ χαλκοῦ καὶ ὅτι ἀπὸ ἀπόφως χημικῆς συνθέσεως κεῖται μᾶλλον πλησιέστερον πρὸς τὸν βαλλεριίτην τοῦ Κορρατβέργ τῆς Σουηδίας.

Εἰς τὴν ἐργασίαν ταύτην ὁ συγγραφεὺς δίδει πρόχειρον πετρογραφικὸν σκαρίφημα τῆς περιοχῆς τῆς Ἐρέτριας, συγκριτικὸν πίνακα ἀκτινογραφικῶν καὶ χημικῶν δεδομένων καὶ ἴστολογικὰς παρατηρήσεις ἐπὶ τοῦ ὁρυκτοῦ μετὰ πλήθους μικροφωτογραφιῶν.

‘Η ἐργασία αὕτη ἔξεπονήθη εἰς τὸ πλαίσιον ἀναληφθείσης πρὸς τὸ Βασιλικὸν “Ιδρυμα Ἐρευνῶν ὑποχρεώσεως.